

УЗАГАЛЬНЕНІ ДИНАМІЧНІ КРИТЕРІЇ ОПТИМАЛЬНИХ РЕЖИМІВ ПУСКУ МЕХАНІЗМІВ ПІДЙОМУ ВАНТАЖУ КРАНІВ

¹ В.С.Ловейкін, ² Ю.В.Човнюк, ² М.Г.Діктерук, ² О.М.Шутовський

¹ Національний аграрний університет, 03041, м. Київ, вул. Героїв Оборони, 15,
тел. (044) 2415527

² Київський національний університет будівництва і архітектури,
03680, м. Київ, Повітрофлотський проспект, 31, тел.(044) 2415527, e-mail: Dicteruk@ukr.net

Получены обобщенные динамические критерии оптимальных режимов пуска механизмов подъема груза кранов на основании уточненных моделей рассматриваемой системы.

The generalized dynamical criteria of the optimal regimes for the putting on of the (hoisting) cranes loading mechanisms are discussed and obtained. One may use for these purposes the precise models of such system.

Вантажопідйомні крані різних типів, модифікацій і вантажоспроможності широко використовуються в багатьох галузях народного господарства, в тому числі в нафтогазовій галузі та паливно-енергетичному комплексі. Складні умови експлуатації механічних систем підйому вантажу і механізмів їхнього спуску потребують удосконалення існуючих інженерних методів розрахунку подібних систем і підвищення їхньої точності. В даній статті ця проблема вирішується через моделювання динамічних характеристик таких систем і оптимізацію їхніх режимів роботи.

У межах припущення й позначень роботи [3] спрощена динамічна модель механізму підйому вантажопідйомного крана (рис. 1) зводиться до наступного. Маси ротора двигуна, гальмівного шківа, зубчастих коліс, барабана і вантажу зводяться до гілок канату. На рис. 1 прийняті такі позначення: $m_{\Pi 1}$ – приведена маса вантажу до гілок канату; $F_{\Pi 1}, F_{\Pi 2}$ – приведені до канату сили від дії відповідно рушійного моменту на валу двигуна й ваги вантажу; C_{Π} – приведена жорсткість гілок канату; X_1, X_2 – координати центрів мас відповідно $m_{\Pi 1}$ і $m_{\Pi 2}$.

Приведення мас та моментів інерції тіл системи базується на рівності кінетичної енергії заданої й приведеної систем; приведення сил і моментів сил – на рівності робіт (потужностей), які виконують ці сили й моменти та їх приведені величини; приведення жорсткостей рівності потенціальних енергій, якими володіють пружні елементи заданої й приведеної систем.

Після реалізації процедури приведення мас, діючих сил та жорсткостей до гілок канату, що намотується на барабан для механізму підйому вантажопідйомного крана (рис. 1), за алгоритмом роботи [3], матимемо наступну систему звичайних диференціальних рівнянь для $X_1(t), X_2(t)$ (крапка над $X_{1,2}$ означає однократне диференціювання по часу t):

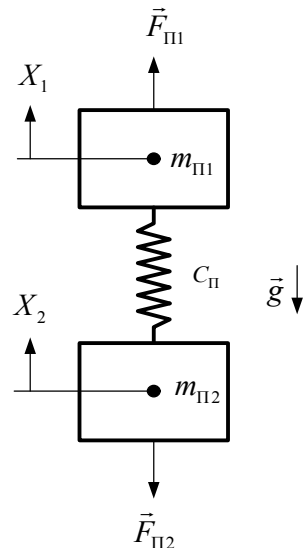


Рисунок 1 – Спрощена динамічна модель механізму підйому вантажопідйомного крана

$$\begin{cases} m_{\Pi 1} \cdot \ddot{X}_1 = F_{\Pi 1} - C_{\Pi} \cdot (X_1 - X_2); \\ m_{\Pi 2} \cdot \ddot{X}_2 = C_{\Pi} \cdot (X_1 - X_2) - F_{\Pi 2}, \end{cases} \quad (1)$$

де:

$$m_{\Pi 1} = 4 \cdot \frac{[(J_1 + J_2 + J_{31}) \cdot i^2 + J_{32} + J_4]}{D^2};$$

$$m_{\Pi 2} = \frac{m_6}{n^2} + 2H \cdot \tilde{m}_0;$$

$$C_{\Pi} = \frac{2E \cdot S}{n^2} \cdot \left\{ \frac{1}{(n-1)h} + \frac{1}{H} \right\};$$

$$F_{\Pi 1} = \frac{2M_1 \cdot h_1 \cdot i}{D}; \quad F_{\Pi 2} = \frac{m_6 \cdot g}{h_2 \cdot n};$$

h_1 – ККД передачі від двигуна до барабана;
 h_2 – ККД поліспастової системи.

Введемо позначення:

$$\Omega^2 = C_{\Pi} \cdot \left(\frac{1}{m_{\Pi 1}} + \frac{1}{m_{\Pi 2}} \right). \quad (2)$$

Після нескладних перетворень (1) систему можна звести до одного диференціального рівняння для $X_2(t)$:

Узагальнене прискорення системи має вигляд

$$X_2^{(IV)} + \Omega^2 \cdot \ddot{X}_2 = \Omega^2 \cdot \frac{F_{\Pi1} - F_{\Pi2}}{m_{\Pi1} + m_{\Pi2}}, \quad (3)$$

$$a_{\text{узар.}} = \frac{1}{\Omega^2} \cdot X_2^{(IV)} + \ddot{X}_2 = \frac{F_{\Pi1} - F_{\Pi2}}{m_{\Pi1} + m_{\Pi2}}. \quad (4)$$

Як узагальнений динамічний критерій оптимального режиму пуску механізму підйому вантажу крана обираємо такий:

$$\left\{ \frac{1}{t_p} \cdot \int_0^{t_p} a_{\text{узар.}}^2(t) dt \right\}^{\frac{1}{2}} \Rightarrow \min \quad (5)$$

або

$$\left\{ \frac{1}{t_p} \cdot \int_0^{t_p} \left(\frac{1}{\Omega^2} \cdot X_2^{(IV)} + \ddot{X}_2 \right)^2 dt \right\}^{\frac{1}{2}} \Rightarrow \min. \quad (6)$$

У (5), (6) t_p – тривалість перехідного процесу, поки швидкість підйому вантажу набере сталої значення v .

Застосовуючи відоме рівняння Ейлера [1, 2] до критерію (6), матимемо рівняння, якою повинна задовольняти координата $X_2(t)$:

$$\frac{1}{\Omega^4} \cdot X_2^{(VIII)} + \frac{2}{\Omega^2} \cdot X_2^{(VI)} + X_2^{(IV)} = 0 \quad (7)$$

або

$$X_2^{(VIII)} + 2\Omega^2 \cdot X_2^{(VI)} + \Omega^4 \cdot X_2^{(IV)} = 0. \quad (8)$$

Розв'язок (8) шукаємо у вигляді:

$$X_2(t) = A_0 + A_1 \cdot t + A_2 \cdot t^2 + A_3 \cdot t^3 + \\ + (A_4 + A_5 \cdot t) \cdot \cos(\Omega t) + (A_6 + A_7 \cdot t) \cdot \sin(\Omega t) \quad (9)$$

Початкові умови обираємо такі:

$$\begin{cases} X_2 = \dot{X}_2 = \ddot{X}_2 = \ddot{X}_2 = 0 & \text{при } t=0; \\ \dot{X}_2 = V = \frac{W_2 \cdot D}{2}; \\ \ddot{X}_2 = \ddot{X}_2 = X_2^{(IV)} = 0 & \text{при } t=t_p. \end{cases} \quad (10)$$

Оскільки $X_2(t)$ обрана у вигляді (9), то для $\dot{X}_2(t)$, $\ddot{X}_2(t)$, $\ddot{X}_2(t)$, $X_2^{(IV)}(t)$ матимемо:

$$\begin{aligned} \dot{X}_2(t) &= A_1 + 2A_2 \cdot t + 3A_3 \cdot t^2 + \\ &+ A_5 \cdot \cos(\Omega t) + (A_4 + A_5 \cdot t) \cdot (-\Omega) \cdot \sin(\Omega t) + \\ &+ A_7 \cdot \sin(\Omega t) + (A_6 + A_7 \cdot t) \cdot \Omega \cdot \cos(\Omega t); \end{aligned} \quad (11)$$

$$\begin{aligned} \ddot{X}_2(t) &= 2A_2 + 6A_3 \cdot t - 2A_5 \cdot \Omega \cdot \sin(\Omega t) - \\ &- \Omega^2 \cdot (A_4 + A_5 \cdot t) \cdot \cos(\Omega t) + 2\Omega A_7 \cdot \cos(\Omega t) - \\ &- \Omega^2 \cdot (A_6 + A_7 \cdot t) \cdot \sin(\Omega t); \end{aligned}$$

$$\begin{aligned} \ddot{X}_2(t) &= 6A_3 - A_5 \cdot \Omega^2 \cdot \cos(\Omega t) - \\ &- A_5 \cdot \Omega^2 \cdot \cos(\Omega t) + (A_4 + A_5 \cdot t) \cdot \Omega^3 \cdot \sin(\Omega t) + \\ &+ (-\Omega^2) \cdot 2A_7 \cdot \sin(\Omega t) + \\ &+ (A_6 + A_7 \cdot t) \cdot (-\Omega^3) \cdot \cos(\Omega t) = \\ &= 6A_3 - 2A_5 \cdot \Omega^2 \cdot \cos(\Omega t) + \\ &+ (A_4 + A_5 \cdot t) \cdot \Omega^3 \cdot \sin(\Omega t) - \\ &- 2\Omega^2 A_7 \cdot \sin(\Omega t) - \Omega^3 \cdot (A_6 + A_7 \cdot t) \cdot \cos(\Omega t) \\ X_2^{(IV)}(t) &= 4A_5 \cdot \Omega^3 \cdot \sin(\Omega t) + \\ &+ (A_4 + A_5 \cdot t) \cdot \Omega^4 \cdot \cos(\Omega t) - 4A_7 \cdot \Omega^3 \cdot \cos(\Omega t) + \\ &+ (A_6 + A_7 \cdot t) \cdot \Omega^4 \cdot \sin(\Omega t). \end{aligned}$$

Підставляючи вирази (9), (11) у (10), отримаємо систему лінійних рівнянь для коефіцієнтів $A_0, A_i, i = \overline{1, 7}$:

$$\left\{ \begin{array}{l} A_0 + A_4 = 0; A_1 + A_5 + A_6 \cdot \Omega = 0; \\ 2A_2 - A_4 \cdot \Omega^2 + 2A_7 \cdot \Omega = 0; \\ 6A_2 - 3A_5 \cdot \Omega^2 - A_6 \cdot \Omega^3 = 0; \\ A_1 + 2A_2 \cdot t_p + 3A_3 \cdot t_p^2 + A_5 \cdot \cos(\Omega t_p) - \\ - (A_4 + A_5 \cdot t_p) \cdot \Omega \cdot \sin(\Omega t_p) + A_7 \cdot \sin(\Omega t_p) + \\ + (A_6 + A_7 \cdot t_p) \cdot \Omega \cdot \cos(\Omega t_p) = V = \frac{W_2 \cdot D}{2}; \\ 2A_2 + 6A_3 \cdot t_p - 2A_5 \cdot \Omega \cdot \sin(\Omega t_p) - \Omega^2 \times \\ \times (A_4 + A_5 \cdot t_p) \cdot \cos(\Omega t_p) + 2A_7 \cdot \Omega \cdot \cos(\Omega t_p) - \\ - \Omega^2 \cdot (A_6 + A_7 \cdot t_p) \cdot \sin(\Omega t_p) = 0; \\ 6A_3 - 3A_5 \cdot \Omega^2 \cdot \cos(\Omega t_p) + (A_4 + A_5 \cdot t_p) \times \\ \times \Omega^3 \cdot \sin(\Omega t_p) - 3A_7 \cdot \Omega^2 \cdot \sin(\Omega t_p) - \\ - \Omega^3 \cdot (A_6 + A_7 \cdot t_p) \cdot \cos(\Omega t_p) = 0; \\ 4A_5 \cdot \Omega^3 \cdot \sin(\Omega t_p) + (A_4 + A_5 \cdot t_p) \times \\ \times \Omega^4 \cdot \cos(\Omega t_p) - 4A_7 \cdot \Omega^3 \cdot \cos(\Omega t_p) + \\ + (A_6 + A_7 \cdot t_p) \cdot \Omega^4 \cdot \sin(\Omega t_p) = 0. \end{array} \right. \quad (12)$$

Запишемо систему рівнянь (12) у більш зручному (компактному) вигляді

$$\|a\| \cdot \|A\| = \|B\|, \quad (13)$$

де $\|a\|$ – матриця коефіцієнтів $a_{ij}, (i, j) = \overline{1, 8}$, яка має розмірність $\dim \|a\| = [8 \times 8]$; $\|A\|$ – матриця коефіцієнтів $A_0, A_i, i = \overline{1, 7}$ що має вигляд:

$$\begin{cases} \|A\| = [A_0; A_1; A_2; A_3; A_4; A_5; A_6; A_7]^T; \\ \dim \|A\| = [8 \times 1]. \end{cases} \quad (14)$$

$\|B\|$ – матриця, яка має вигляд:

$$\begin{cases} \|B\| = [0; 0; 0; 0; V; 0; 0; 0]^T; \\ \dim \|B\| = [8 \times 1]. \end{cases} \quad (15)$$

Коефіцієнти a_{ij} визначаються з наступних спiввiдношень:

$$\begin{aligned} a_{11} &= 1; a_{12} = a_{13} = a_{14} = 0; a_{15} = 1; \\ a_{16} &= a_{17} = a_{18} = 0; a_{21} = 0; a_{22} = 1; \\ a_{23} &= a_{24} = a_{25} = 0; a_{26} = 1; a_{27} = \Omega; \\ a_{28} &= 0; a_{31} = 0; a_{32} = 0; a_{33} = 2; a_{34} = 0; \\ a_{35} &= -\Omega^2; a_{36} = a_{37} = 0; a_{38} = 2\Omega; \\ a_{41} &= a_{42} = a_{43} = 0; a_{44} = 6; a_{45} = 0; \\ a_{46} &= -3\Omega^2; a_{47} = -\Omega^3; a_{48} = 0; a_{51} = 0; \\ a_{52} &= 1; a_{53} = 2t_p; a_{54} = 3t_p^2; \\ a_{55} &= -\Omega \sin(\Omega t_p); a_{56} = \cos(\Omega t_p) - \Omega t_p \cdot \sin(\Omega t_p); \\ a_{57} &= \Omega \cos(\Omega t_p); a_{58} = \sin(\Omega t_p) + \Omega t_p \cos(\Omega t_p); \\ a_{61} &= 0; a_{62} = 0; a_{63} = 2; a_{64} = 6t_p; \\ a_{65} &= -\Omega^2 \cos(\Omega t_p); a_{67} = -\Omega^2 \sin(\Omega t_p); \\ a_{66} &= -2\Omega \sin(\Omega t_p) - \Omega^2 \cdot t_p \cos(\Omega t_p); \\ a_{68} &= 2\Omega \cdot \cos(\Omega t_p) - \Omega^2 \cdot t_p \cdot \sin(\Omega t_p); \\ a_{71} &= a_{72} = a_{73} = 0; a_{74} = 6; a_{75} = \Omega^3 \sin(\Omega t_p); \\ a_{76} &= \Omega^3 \cdot t_p \sin(\Omega t_p) - 3\Omega^2 \cos(\Omega t_p); \\ a_{77} &= -3\Omega^2 \cos(\Omega t_p); \\ a_{78} &= -3\Omega^2 \sin(\Omega t_p) - \Omega^3 \cdot t_p \cos(\Omega t_p); \\ a_{81} &= a_{82} = a_{83} = a_{84} = 0; a_{85} = \Omega^4 \cos(\Omega t_p); \\ a_{86} &= 4\Omega^3 \sin(\Omega t_p) - \Omega^4 \cdot t_p \cos(\Omega t_p); \\ a_{87} &= \Omega^4 \sin(\Omega t_p); \\ a_{88} &= -4\Omega^3 \cos(\Omega t_p) + \Omega^4 \cdot t_p \sin(\Omega t_p). \end{aligned}$$

Систему (13) можна легко розв'язати за допомогою правила Крамера.

У таблиці 1 наведені значення $A_0, A_1, A_2, A_3, A_4, A_5, A_6, A_7$ розраховані на ПЕОМ для рiзноманiтних значень V, Ω, t_p .

На рис. 2, 3 зображені графики залежностей $\dot{X}_2(t), \ddot{X}_2(t), \ddot{\dot{X}}_2(t), X_2^{(IV)}(t)$ (рис. 1) для V, Ω, t_p , прийнятих у таблиці 1.

Висновки

Визначені основні параметри динамічних моделей механізму підйому вантажопідйомного крана.

Запропонована уточнена розрахункова схема механічної частини механізму підйому вантажу крана.

Визначені головні кінематичні характеристики руху вантажу на канаті, зокрема, прискорення, моменти часу, у які вказане прискорення набуває максимальних значень, що особливо небезпечно впливають на мiцнiсть канату.

Розглянутi й проаналiзованi умови нестiйкостi вертикальних коливань вантажу на канатi, що дозволяють розгiйдування системи до небезпечних за амплiтудою коливань значень.

Дослiдженнi основнi динамiчнi та кiнематичнi характеристики тримасової моделi пружної механiчної системи пiдйому вантажу крана.

Встановленi узагальненi динамiчнi критерiї оптимальних режимiв пуску механiзмiв пiдйому вантажу кранiв на основi дослiджених моделей розглядуваної системи.

Одержанi у роботi залежностi та критерiї оптимальних режимiв пуску механiзмiв пiдйому вантажу кранiв можуть бути використанi у подальшому для вдосконалення iснуючих iнженерних методiв розрахунку подiбних систем та суттєво пiдвищують їх точнiсть.

Лiтература

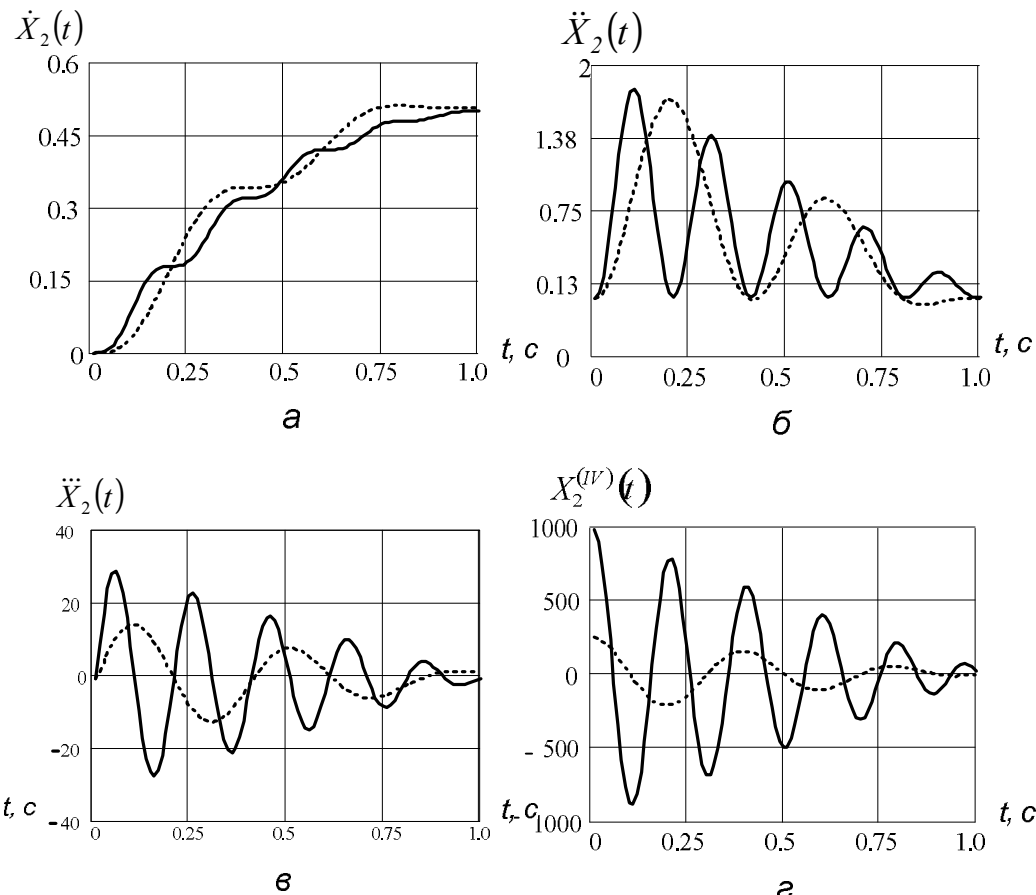
1 Ловейкiн В.С. Критерiї оцiнки режимiв руху механiзмiв i машин // Збiрник наукових праць НАУ. – К., 1998. – Т.4.– С. 8-12.

2 Ловейкiн В.С. Оптимiзацiя режимiв руху машин i механiзмiв // Машинознавство. – 1999. – №7(6). – С.24-31.

3 Ловейкiн В.С., Назаренко I.I., Онищенко О.Г. Теорiя технiчних систем. – Київ -Полтава: ІЗМН – ПДТУ, 1998. – 175 с.

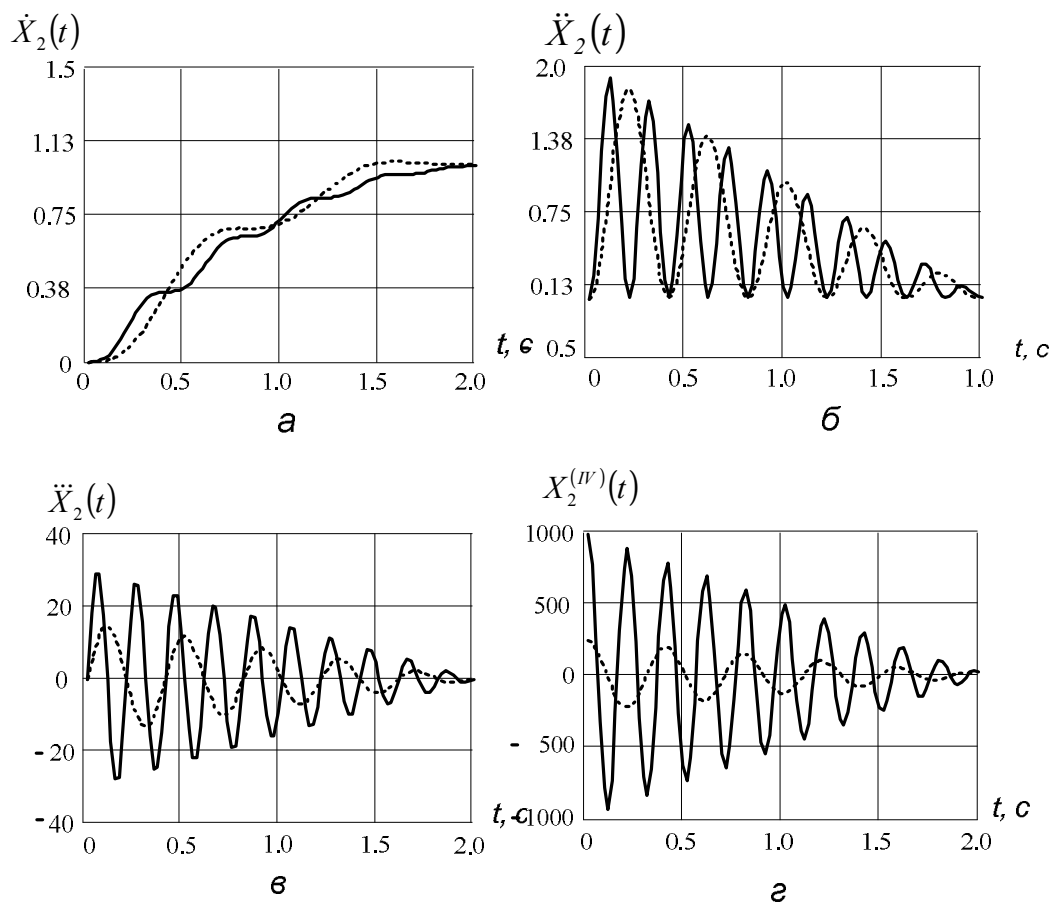
Таблиця 1

V, м/с	A_i	$t_p = 1\text{c}$		$t_p = 2\text{c}$	
		$\Omega = 10 \cdot 10^{-3} \text{рад/с}$	$\Omega = 5 \cdot 10^{-3} \text{рад/с}$	$\Omega = 10 \cdot 10^{-3} \text{рад/с}$	$\Omega = 5 \cdot 10^{-3} \text{рад/с}$
0,5	A_0	-1.011E-3	-4.366E-3	-5.063E-4	-2.022E-3
	A_1	-1.011E-3	-4.082E-3	-2.532E-4	-1.011E-3
	A_2	0.499	0.53	0.25	0.249
	A_3	-0.166	-0.18	-0.042	-0.042
	A_4	1.011E-3	4.366E-3	5.063E-4	2.022E-3
	A_5	-1.011E-3	-4.224E-3	-2.532E-4	-1.011E-3
	A_6	6.437E-5	5.288E-4	1.612E-5	1.287E-4
	A_7	0	5.558E-4	0	0
1,0	A_0	-2.022E-3	-8.731E-3	-1.013E-3	-4.045E-3
	A_1	-2.022E-3	-8.165E-3	-5.063E-4	-2.022E-3
	A_2	0.998	1.06	0.5	0.499
	A_3	-0.333	-0.359	-0.083	-0.083
	A_4	2.022E-3	8.731E-3	1.013E-3	4.045E-3
	A_5	-2.022E-3	-8.448E-3	-5.063E-4	-2.022E-3
	A_6	1.287E-4	1.058E-3	3.224E-5	2.575E-4
	A_7	0	1.112E-3	0	0



a – $\dot{X}_2(t)$, **б –** $\ddot{X}_2(t)$, **в –** $\ddot{X}_2(t)$, **г –** $X_2^{(IV)}(t)$;
суцільна $\Omega = 10 \cdot 10^{-3} \text{рад/с}$, $t_p = 1\text{c}$, $v = 0.5\text{м/с}$;
пунктирна $\Omega = 5 \cdot 10^{-3} \text{рад/с}$; $t_p = 1\text{c}$, $v = 0.5\text{м/с}$;

Рисунок 2 — Графіки залежностей



$a - \dot{X}_2(t)$, $\delta - \ddot{X}_2(t)$, $\epsilon - \ddot{\dot{X}}_2(t)$, $\varepsilon - X_2^{(IV)}(t)$;
суцільна $\Omega = 10 \cdot \text{рад} \cdot \text{s}^{-1}$, $t_p = 2 \text{ с}$, $v = 1.0 \text{ м/с}$;
пунктирна $\Omega = 5 \cdot \text{рад} \cdot \text{s}^{-1}$; $t_p = 2 \text{ с}$, $v = 1.0 \text{ м/с}$;

Рисунок 3 — Графіки залежностей